

М.А. Голуб, Н.Л. Казанский, И.Н. Сисамян,  
В.А. Сойфер, С.И. Харитонов

### ОЦЕНКА ДИФРАКЦИОННОГО РАЗМЫТИЯ ФОКАЛЬНОЙ ЛИНИИ ГЕОМЕТРООПТИЧЕСКИХ ФОКУСАТОРОВ

В данной работе решается задача дифракционного расчета интенсивности поля вблизи фокальной линии фокусатора когерентного излучения. Метод основан на вычислении интеграла Кирхгофа в параксиальном приближении в системе координат, связанной со слоями на фокусаторе, уравнения которых находятся в процессе решения обратной задачи. Приведены примеры расчетов световых полей в случае фокусировки плоского гауссова пучка в отрезок с равномерным распределением интенсивности. Получены простые выражения для дифракционной ширины фокального отрезка и энергетической эффективности фокусатора.

Пусть рассматривается задача фокусировки плоского пучка когерентного излучения с длиной волны  $\lambda$  в плоскую фокальную линию  $F$  с параметрическими уравнениями

$$x = x_0(\xi), \quad \xi \in [0, L], \quad (1)$$

где

$l(\xi)$  - линейная плотность;

$x = (x, y)$  - декартовы координаты в плоскости фокусировки;

$\xi$  - натуральный параметр кривой.

Фокальная плоскость отстоит на расстояние  $f_0$  от плоскости фокусатора (это расстояние будем называть фокусным).

Определим координаты в окрестности фокальной линии. Для этого введем линейное продолжение  $\bar{F}$  линии  $F$  касательными в конечных точках согласно уравнениям:

$$x = x_0(\xi) + x'_{0\xi}(\xi - \bar{\xi}), \quad \bar{\xi} = \begin{cases} \xi, & \text{если } \xi \in [0, L]; \\ 0, & \text{если } \xi < 0; \\ L, & \text{если } \xi > L, \end{cases} \quad (2)$$

где  $\vec{x}'_{0\xi} = \frac{d\vec{x}_0}{d\xi}$ .

При  $\xi \in [0, L]$  величина  $|\xi - \bar{\xi}|$  есть расстояние от точки  $x$  до соответствующей граничной точки прямой, измеренное по касательной.

Далее введем в плоскости фокусировки криволинейные координаты  $\xi, \eta$ , связанные с  $x, y$  соотношениями:

$$\begin{cases} y = y_0(\xi) + x_0 \xi, & \eta; \\ x = x_0(\xi) - y_0' \xi. \end{cases} \quad (3)$$

Координата  $\eta$ , выбранная таким образом, характеризует отклонение точки  $x$  от кривой  $\bar{F}$ , отсчитанное по нормали.

В геометрикооптическом решении обратной задачи фокусировки [1-3] каждая точка  $\xi$  фокальной линии формируется соответствующим слоем, имеющим в параксиальном приближении уравнение

$$(u - x_0(\xi)) x_0'(\xi) = c(\xi) f_0, \quad (4)$$

где функция  $c(\xi)$  находится из энергетических соотношений.

Результатом решения обратной задачи фокусировки является фазовая функция фокусатора  $k\Psi$  [2], определяемая уравнением

$$\Psi(u) = \frac{1}{f_0} \int_{u_0}^u x_0(\xi(u)) d\xi - \frac{(u - x_c)^2}{2f_0} - \frac{u - u_0}{f_0} x_c,$$

где

$$k = \frac{2\pi}{\lambda} - \text{волновое число};$$

$u = (u, v)$  - декартовы координаты в плоскости фокусатора.

В дифракционном решении прямой задачи фокусировки будем считать, что поле в каждой точке в окрестности фокальной линии формируется лишь той частью излучения, которая проходит вблизи соответствующего слоя фокусатора. Отдельно для каждой точки  $\xi$  линии  $\bar{F}$  построим систему декартовых координат в плоскости фокусатора так, чтобы ось  $\beta$  совпадала с соответствующим слоем

$$\begin{aligned} u &= (c(\xi) f_0 + x_0(\xi) x_0'(\xi) + x_0'(\xi) x_0(\xi) + x_0'(\xi) x \beta); \\ v &= (c(\xi) f_0 + x_0(\xi) x_0'(\xi)) y_0'(\xi) + (x_0'(\xi) \cdot \beta), \end{aligned} \quad (5)$$

где  $x \cdot \beta = x\alpha - y\beta$ ,  $(x \cdot \beta) = x\beta + y\alpha$ .

Расчет поля  $w(x, f_0)$  в фокальной плоскости проводим с помощью интеграла Кирхгофа в параксиальном приближении [4]

$$w(x, f_0) = e^{ikf_0} \frac{k}{2\pi i f_0} \int w_0(u, 0) \exp(ik\bar{\Psi}) d^2u, \quad (6)$$

где

$$\bar{\Psi} = \frac{1}{2f_0} (x-u)^2 + \Psi. \quad (7)$$

Анализируя фазу  $\bar{\Psi}$ , можно убедиться, что множество точек стационарной фазы образует прямую линию, совпадающую со слоем на фокусаторе.

Сделаем в (6) замену переменных  $(u, v) \rightarrow (\alpha, \beta)$  и разложим  $\bar{\Psi}(\alpha, \beta)$  в ряд Тейлора, ограничившись квадратичными членами, а функцию  $w_0$  аппроксимируем ее значением на соответствующем слое (то есть при  $\alpha=0$ ). Далее вычисляется интеграл по  $\beta$ ; получаем

$$\begin{aligned} w(x, f_0) &= e^{ikf_0} \frac{k}{2\pi f_0} \int d\beta \{ w_0(u(0, \beta), 0) \exp\left(\frac{ik}{f_0} \left(\gamma_0 - \frac{\gamma_1^2}{4\gamma_2}\right) x \right. \\ &\left. \times \text{sign}\left(\alpha + \frac{\gamma_1}{4\gamma_2}\right) E\left(\frac{k}{f_0} \gamma_2 \left(\alpha + \frac{\gamma_1}{2\gamma_2}\right)^2\right) \sqrt{\frac{\pi}{2\gamma_2}} \begin{Bmatrix} G_1(\beta) \\ G_2(\beta) \end{Bmatrix} \right\}, \end{aligned} \quad (8)$$

где

$$\gamma_0 = f_0 \tilde{\Psi} |_{\alpha=0}, \quad \gamma_1 = \frac{\partial \tilde{\Psi}}{\partial \alpha} f_0 |_{\alpha=0},$$

$$\gamma_2 = \frac{f_0}{2} \frac{\partial^2 \tilde{\Psi}}{\partial \alpha^2} |_{\alpha=0}, \quad E(x) = \sqrt{\frac{2}{\pi}} \int e^{ix^2} dx,$$

$\chi$  - фаза, не зависящая от  $\alpha$  и  $\beta$ .

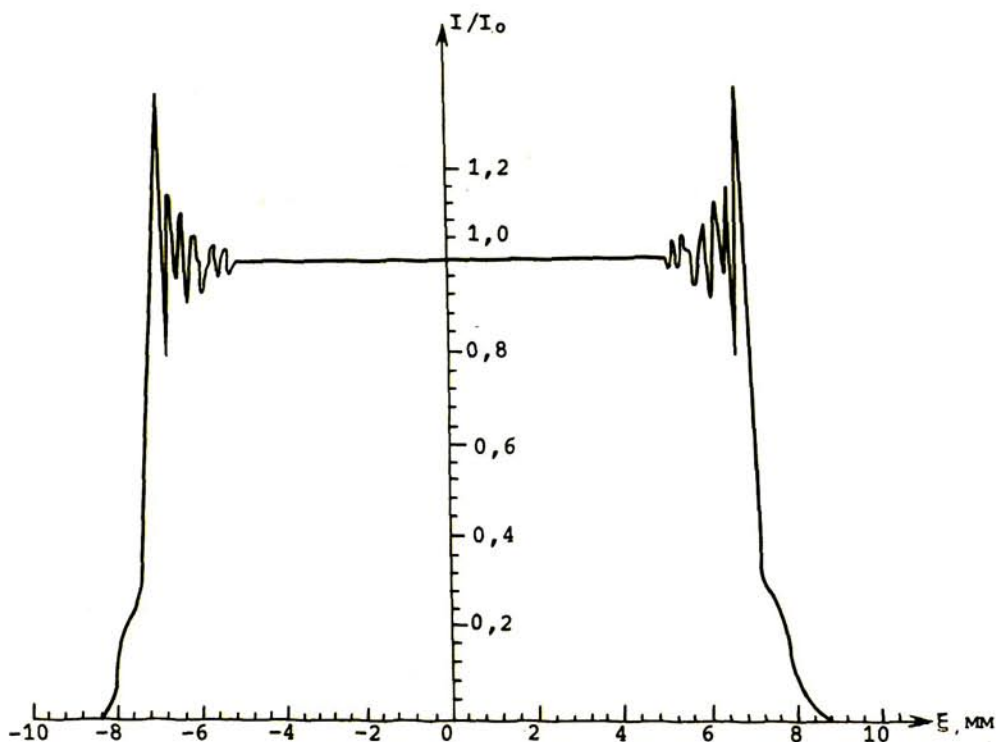
$\alpha = G_1(\beta)$  и  $\alpha = G_2(\beta)$  уравнения границ фокусатора, которые находятся из уравнений границ в переменных  $(u, v)$  с использованием соотношений (4) и (5).

Если в (8)  $G_1(\beta) = \infty$ ,  $G_2(\beta) = -\infty$ , получим асимптотическую формулу

$$w(x, f_0) = \frac{e^{i\chi}}{2} \int \sqrt{\frac{k}{\pi f_0 |\gamma_2|}} w(u(0, \beta), 0) \exp\left(\frac{-ik\beta\eta}{f_0}\right) d\beta. \quad (9)$$

В частности, формула (9) справедлива всюду, если фокальная кривая замкнута и гладкая, а также справедлива для окрестности внутренних точек, достаточно удаленных от концов произвольной фокальной кривой. Интенсивность поля рассчитывается по формулам (8) и (9) путем вычисления квадрата модуля.

В качестве примера рассмотрим фокусировку в фокальный отрезок прямой с равномерной линейной плотностью (рисунок). Отрезок предполагается расположенным вдоль оси и симметрично относительно начала координат, а фокусатор - прямоугольным размера  $2a \times 2b$ . Для него  $\xi = x$ ,  $\eta = y$ , а слои представляют прямые, параллельные оси  $v$ .



Распределение интенсивности от фокусатора гауссова пучка в отрезок ( $\lambda = 10,6$  мк,  $\sigma = 10$  мм,  $a = 12,5$  мм,  $L = 15$  мм)

Для фокусируемого пучка, имеющего плоский волновой фронт с равномерным распределением интенсивности

$$\Psi(u, v) = -\frac{u^2}{2f_0} \left(1 - \frac{L}{2a}\right) - \frac{v^2}{2f_0}, \quad (10)$$



а поле в фокальной области определяется согласно (8), выражения

$$w(\xi\eta) = \sqrt{\frac{2ak}{\pi L f_0}} b \operatorname{sinc}\left(\frac{kbn}{\pi f_0}\right) \times \left\{ \operatorname{sign}\left(a - \frac{2\xi a}{L}\right) \times E\left(\frac{\Delta}{\Delta_0}\right) + \right. \\ \left. + \operatorname{sign}\left(a + \frac{2\xi a}{L}\right) \times E\left(\frac{ka}{L f_0}\left(\xi + \frac{L}{2}\right)^2\right); \right. \\ \left. \Delta_0 = \sqrt{\frac{L f_0}{ka}}; \Delta = \xi - \frac{L}{2} \operatorname{sign} x = \begin{cases} 1 & x > 0 \\ 0 & x = 0 \\ -1 & x < 0 \end{cases} \right. \quad (11)$$

Соотношение (10) позволяет представить данный фокусатор как две скрещенные линзы с фокусами  $f_0/(1 - \frac{L}{2a})$  и  $f_0$  по осям  $u$  и  $v$  соответственно. Заметим, что поле (11), рассчитанное по формуле (8) вдоль оси  $\xi$ , описывается формулами дифракции Френеля сферического сходящегося пучка на щели шириной  $2a$ , а вдоль оси  $\eta$  - формулами дифракции Фраунгофера на щели шириной  $2b$ .

При  $L=0$  мы получаем поле от линзы с апертурой  $2a \times 2b$  и фокусным расстоянием  $f_0$ .

При  $-\Delta = |\Delta| \gg \Delta_0$ , то есть для внутренних точек, лежащих вдали от концов отрезка, формула (11) асимптотически переходит в

$$w(\xi\eta) = w_0 \operatorname{sinc}\left(\frac{kbn}{\pi f_0}\right), \quad (12)$$

где  $w_0(\xi) = 2b \sqrt{\frac{ak}{\pi L f_0}}$  описывает усредненное от оси значение комплексной амплитуды, а  $\operatorname{sinc}$ -функция описывает дифракционное уширение  $\Delta_0$  фокальной кривой.

При  $\Delta_0 \ll L$  для уровня  $\theta$  по интенсивности получим

$$\Delta_0 = \frac{2\pi f_0}{kb} \operatorname{arsinc} \sqrt{\theta},$$

где символом  $\operatorname{arsinc}$  обозначена функция обратная к  $\operatorname{sinc}(x)$ . Формула (12) позволяет оценить дифракционную эффективность фокусатора  $\epsilon_\theta$ , то есть долю энергии, попадающую в прямоугольник с шириной  $\Delta\theta$  и длиной  $L$

$$\epsilon_\theta = \frac{2}{\pi} (SI(2\pi x) - \pi\theta x) \Big|_{x=\operatorname{arsinc}\sqrt{\theta}}.$$

Для фокусируемого гауссова пучка с плоским волновым фронтом и распределением интенсивности

$$I = I_0 \exp\left(-\frac{r^2}{2\sigma^2}\right),$$

согласно (8) и (9), выражение для амплитуды имеет вид:

$$w(\xi\eta) = \begin{cases} e^{i\kappa} \sqrt{\frac{k}{2\pi f}} \sqrt{\frac{2\pi\sigma \operatorname{erf}\left(\frac{a}{\sqrt{2}\sigma}\right)}{L}} w_2 \text{ при } \Delta \gg \Delta_0; \\ \frac{e^{i\kappa}}{2\pi} \sqrt{\frac{\pi\sigma \sqrt{2\pi} \operatorname{erf}\left(\frac{a}{\sqrt{2}\sigma}\right) k}{L \exp\left(-\frac{a^2}{2\sigma^2}\right) f}} \times \left\{ \operatorname{sign} \Delta E\left(\frac{\Delta}{\Delta_0}\right)^2 - \frac{1+i}{2} \right\} w_\eta \text{ при } \Delta \approx \Delta_0, \end{cases} \quad (13)$$

где

$$\Delta_0 = \sqrt{\frac{2f_0 L \exp\left(-\frac{a^2}{2\sigma^2}\right)}{k\sigma \sqrt{2\pi} \operatorname{erf}\left(\frac{a}{\sqrt{2}\sigma}\right)}}; \quad \Delta = \xi - \frac{L}{2};$$

$$w_\eta = \int \exp\left(\frac{ikn v}{f}\right) \exp\left(-\frac{v^2}{4\sigma^2}\right) dv.$$

В случае, когда размеры фокусатора больше, чем характерный размер пучка  $\sigma$ ,  $w_y$  принимает вид

$$w_\eta = 2\sigma\sqrt{\pi} \exp\left(-\frac{\eta^2}{4\tilde{\sigma}^2}\right),$$

где  $\tilde{\sigma} = \frac{2f}{k\sigma}$ ,

совпадающий с известной формулой для фокусировки гауссова пучка линзой.

При этом

$$\Delta\theta = \frac{2f}{k\sigma\sqrt{2}} (-\ln\theta)^{1/2};$$

$$\epsilon_\theta = \operatorname{erf}(\sqrt{-\ln\theta}).$$

#### ЛИТЕРАТУРА

1. Голуб М.А., Карпеев С.В., Прохоров А.М., Сисакян И.Н., Сойфер В.А. Письма в ЖТФ, 1981, т. 7, № 10, с. 618.
2. Данилов В.А., Попов В.В., Прохоров А.М., Сагателян Д.М., Сисакян И.Н., Сойфер В.А. Письма в ЖТФ, 1982, т. 8, № 13, с. 810.
3. Гончарский А.В., Данилов В.А., Попов В.В., Прохоров А.М., Сисакян И.Н., Сойфер В.А., Степанов В.В. Доклады АН СССР, 1983, т. 273, вып. 605.
4. Папулис А. Теория систем и преобразований в оптике. М.: Мир, 1971. - 495 с.